

МИКРОЭЛЕКТРОНИКА

УДК 621.382.82

А. П. ГОЛУБЕВ, Е. П. ДРОБЫШЕВ, А. Г. КУДРЯШОВ

ИНТЕГРАЛЬНЫЙ ПРЕРЫВАТЕЛЬ ИП-1

Описываются особенности технологии изготовления интегральных прерывателей ИП-1, предназначенных для коммутации с высокой точностью слабых сигналов постоянного и переменного тока, и рассматриваются их основные электрические характеристики и параметры.

При проектировании радиоэлектронной аппаратуры приходится сталкиваться с задачей коммутации слабых сигналов постоянного и переменного тока. Наиболее часто встречающиеся примеры подобных задач показаны на рис. 1. К ключам, используемым в схемах на рис. 1,

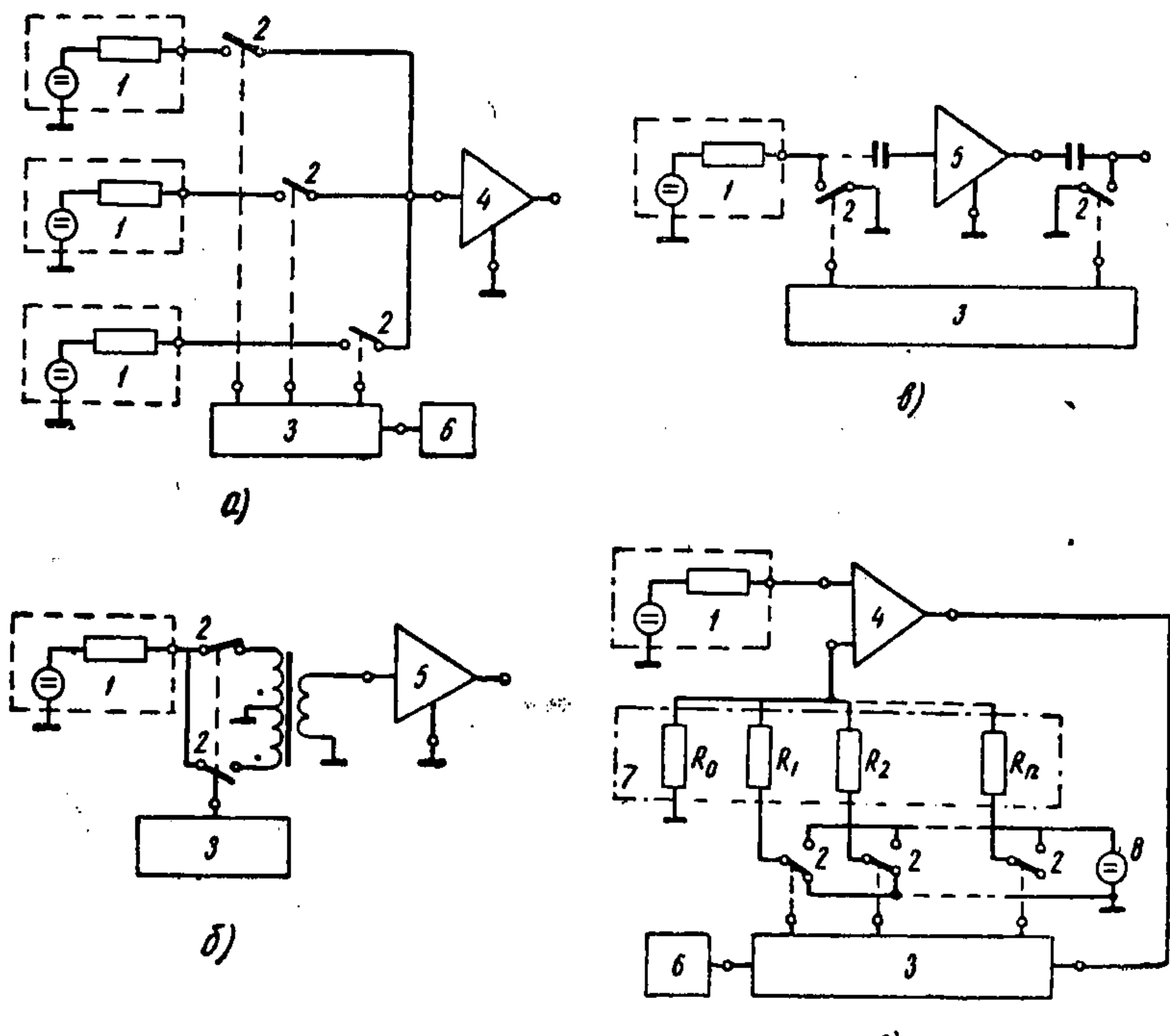


Рис. 1. Радиоэлектронные устройства с коммутацией слаботочных цепей:

a — многоканальный переключатель для телеметрии; *b* — преобразователь постоянного тока в переменный; *c* — усилитель постоянного тока типа М-ДМ; *d* — аналогово-цифровой преобразователь.

1 — источник сигнала; 2 — ключ-прерыватель; 3 — устройство управления ключами; 4 — усилитель постоянного тока; 5 — усилитель переменного тока; 6 — генератор тактовых импульсов; 7 — матрица эталонных сопротивлений; 8 — эталонный источник.

предъявляются очень жесткие требования с точки зрения величины помехи, вносимой ими в коммутируемую цепь. Кроме того, ключи должны быть устойчивы к температурным и механическим воздействиям (ударам, вибрациям), иметь большой срок службы и работать при частотах коммутации до десятков и сотен килогерц. Наиболее полно этим требованиям удовлетворяет освоенный отечественной промышленностью интегральный прерыватель ИП-1, схема и расположение выводов которого показаны на рис. 2.

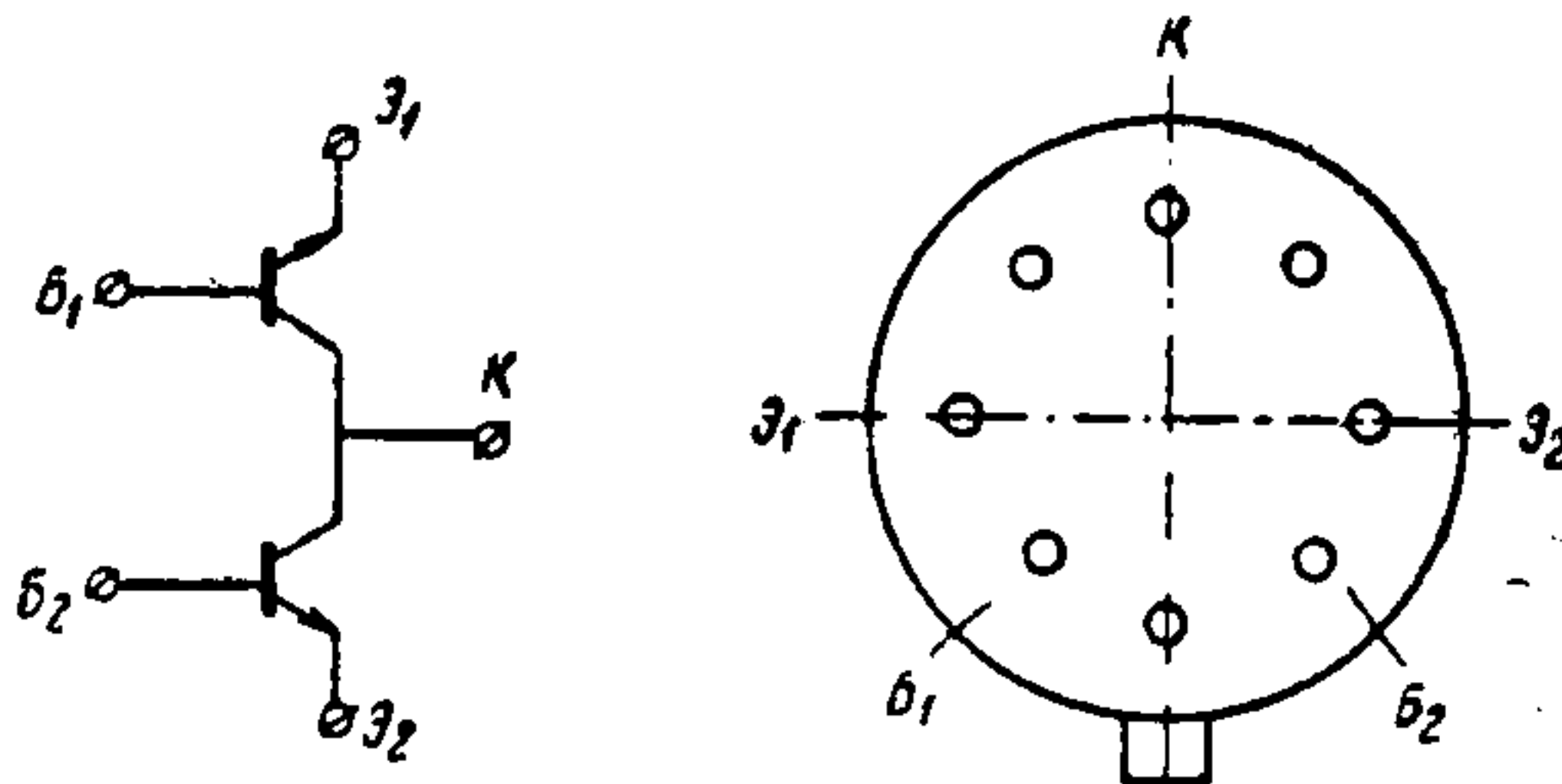


Рис. 2. Схема и расположение выводов интегрального прерывателя ИП-1.

ОСОБЕННОСТИ ТЕХНОЛОГИИ ИЗГОТОВЛЕНИЯ ИНТЕГРАЛЬНОГО ПРЕРЫВАТЕЛЯ

Интегральный прерыватель ИП-1, разрез которого изображен на рис. 3, изготавливается по хорошо известной эпитаксиально-планарной технологии. Специфичные для интегральных прерывателей требования низкого сопротивления тела коллектора, высоких и стабильных коэффициентов передачи тока для нормального и инверсного включений и малых токов утечки эмиттера достигаются использованием в качестве исходного материала эпитаксиальных структур 10 КЭФ 1,0/200 КЭС

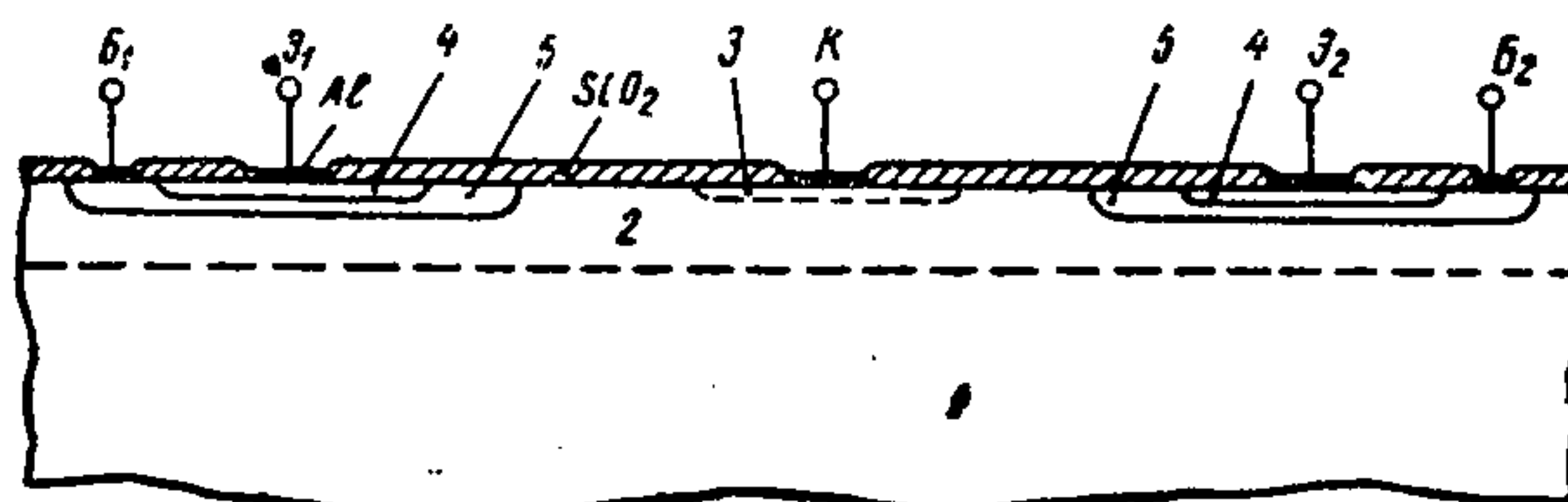


Рис. 3. Разрез интегрального прерывателя:
1 — исходная пластина; 2 — эпитаксиальная коллекторная область; 3 — контакт к коллекторной области; 4 — эмиттер; 5 — база.

0,01, состоящих из низкоомной кремниевой подложки и эпитаксиально-го слоя кремния того же типа проводимости, но с более высоким удельным сопротивлением, а также соответствующим выбором режимов технологических операций (параметры диффузионных слоев прерывателя приведены в табл. 1).

Таблица 1

Элемент структуры прерывателя	Тип проводимости	Легирующая примесь	Толщина слоя, мкм	Максимальная концентрация примесей, см ⁻³
Исходная пластина	<i>n</i> ⁺	Сурьма	200 ± 10	$5 \cdot 10^{18} - 10^{19}$
Эпитаксиальная коллекторная область	<i>n</i>	Фосфор	10 ± 2	$4 \cdot 10^{15} - 6 \cdot 10^{15}$
Контакт к коллекторной области	<i>n</i> ⁺⁺	То же	$2,1 \pm 0,2$	$8 \cdot 10^{20} - 2 \cdot 10^{21}$
Эмиттер	<i>n</i> ⁺⁺	"	$2,1 \pm 0,2$	$8 \cdot 10^{20} - 2 \cdot 10^{21}$
База	<i>p</i>	Бор	$2,8 \pm 0,2$	$1,5 \cdot 10^{18} - 4,5 \cdot 10^{18}$

Выбор сурьмы в качестве легирующей примеси подложки, из-за малого значения ее коэффициента диффузии, во-первых, улучшает воспроизводимость результатов при получении диффузионного профиля прибора и, во-вторых, позволяет уменьшить толщину наращиваемой высокоомной пленки *n*-типа и тем самым снизить величину сопротивления тела коллектора. Идентичность значений коэффициентов усиления транзисторных структур обеспечивается тем, что обе транзисторные структуры изготовлены на кристалле в непосредственной близости друг от друга, где однородность материала приближается к идеальной. Воспроизводимость параметров достигается жестким контролем диффузионных процессов и процессов, связанных с очисткой и стабилизацией поверхности.

Вакуумный метод диффузии базовой примеси и двухстадийная эмиттерная диффузия из жидкого источника PCl_3 , а также низкотемпературное термическое окисление дают возможность получать требуемый диффузионный профиль с высокой точностью воспроизведения и стабильное состояние поверхности.

Для снижения токов утечки в технологический процесс вводится дополнительная стабилизация поверхности путем нанесения на поверхность окисленной пластины с готовыми структурами монослоя титана с последующим низкотемпературным вжиганием, а также длительная низкотемпературная стабилизация поверхности в среде сухого кислорода. Высокая надежность металлизированных токоведущих дорожек достигается за счет нанесения перед напылением алюминия подслоя ванадия. Этим обеспечивается высокая адгезия металлов к кремнию и окислу.

Крепление кристалла к корпусу в интегральном прерывателе ИП-1 производится путем пайки эвтектикой золото—кремний, при этом получают идеальные условия теплоотвода и механической прочности. Слой эвтектики создается заранее гальваническим нанесением золота на обратную сторону пластины и вжиганием его в кремний, так что после скрайбирования каждый кристалл имеет на обратной стороне слой эвтектического припоя. Скрайбирование ведется непосредственно по кремнию, для чего на фотомасках предусмотрено вскрытие полосок на поверхности пластины в местах перемещения резца. Это исключает образование перенапряжений в маскирующем слое SiO_2 и возникновение нежелательных поверхностных эффектов.

Основные характеристики интегральных прерывателей

Работая в режиме ключа в схемах, приведенных на рис. 1, интегральный прерыватель может находиться в двух состояниях: открытом (рис. 4, *a*), когда протекает ток $I_{62} = I_{61} + I_{62}$, и в закрытом (рис. 4, *b*), когда к переходам коллектор—база транзисторных структур приложено запирающее напряжение E_3 . Полная эквивалентная схема ИП-1 для его работы в режиме ключа показана на рис. 4, *c*.

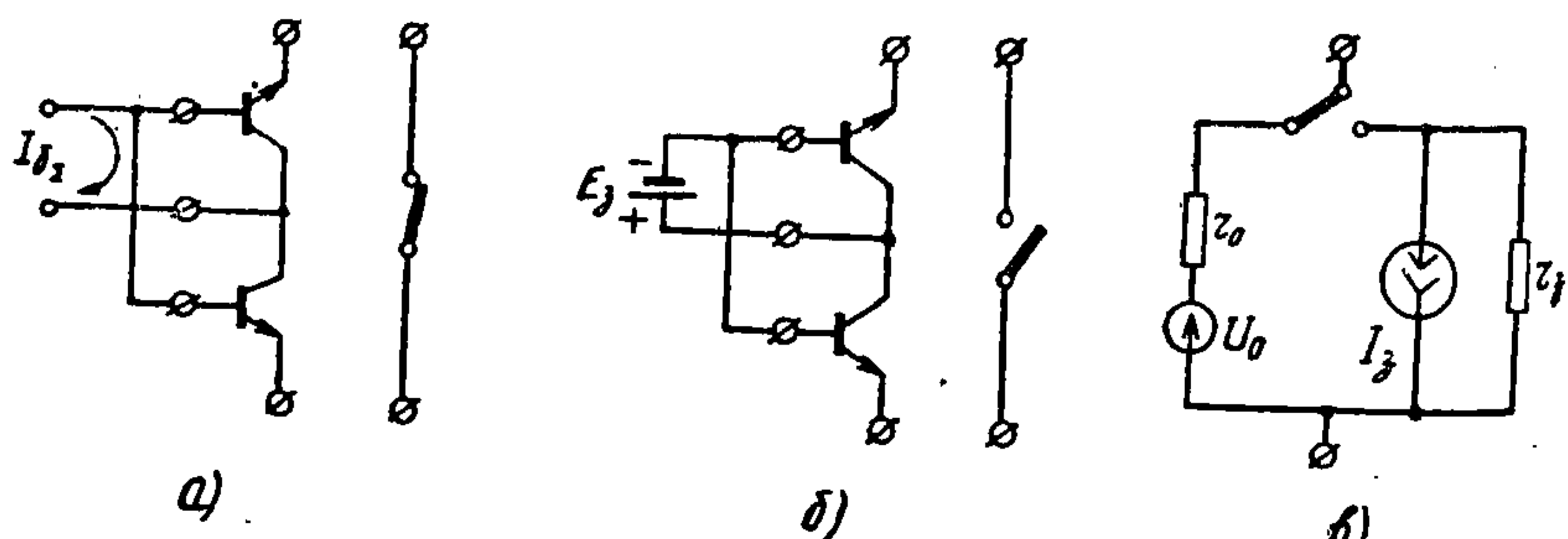


Рис. 4. Режимы работы ИП-1.

Параметры этой схемы для открытого состояния транзисторов U_0 и I_0 можно найти из эквивалентной схемы одной из планарных транзисторных структур прерывателя, изображенной на рис. 5. Диоды D'_k и D''_k на схеме рис. 5 отражают инжекцию соответственно активной (под эмиттером) и пассивной частей $p-n$ перехода коллектор—база. Сопротивление r'_k учитывает сопротивление эпитаксиальной пленки между высоколегированной подложкой и активной частью коллекторного $p-n$ перехода, а сопротивление r''_k — между подложкой и коллекторным контактом.

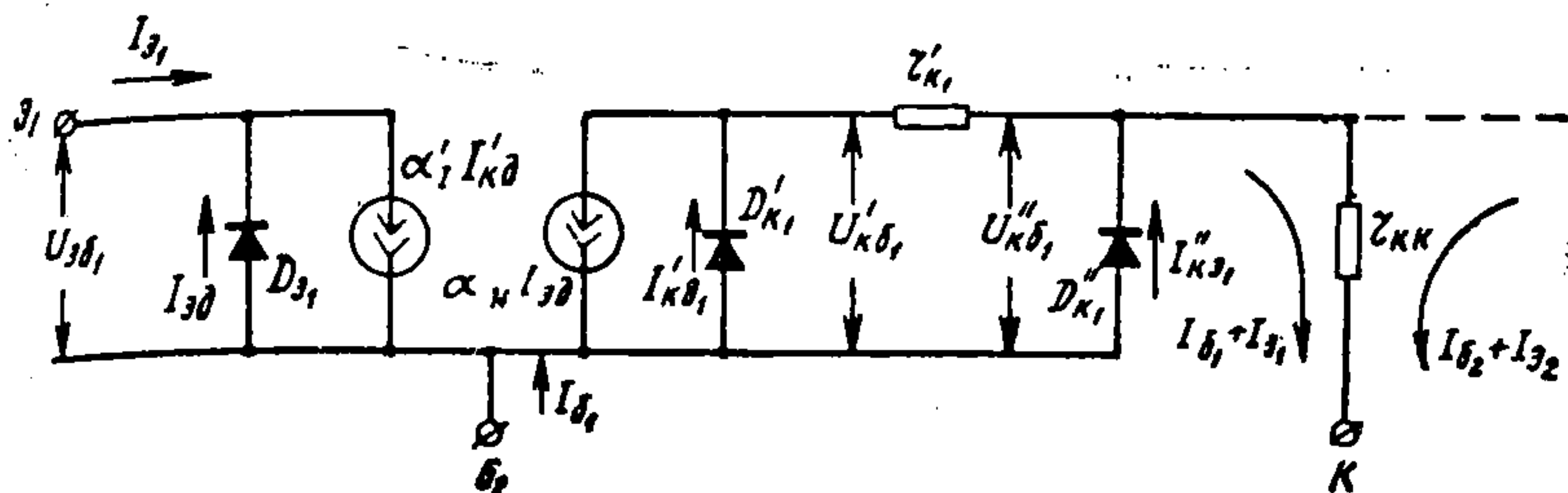


Рис. 5. Эквивалентная схема транзисторной структуры для открытого состояния.

Схема на рис. 5 описывается следующими уравнениями:

$$I'_{kd} = I'_{kdn} e^{\frac{U'_{kb}}{\varphi_T}} ; \quad I_{ed} = I_{eden} e^{\frac{U_{eb}}{\varphi_T}} ;$$

$$I_{ed} = \alpha'_I I'_{kd} - I_e ; \quad I_{ed} (1 - \alpha_N) + I'_{kd} (1 - \alpha'_I) + I''_{kd} = I_6 ;$$

$$U''_{kb} = U'_{kb} + (I'_{kd} - \alpha_N I_{ed}) r'_k .$$

Кроме этого, токи в схеме рис. 5 связаны соотношениями:

$$\frac{I'_{kd}}{I'_{kd} + I''_{kd}} = \gamma \approx \text{const} ; \quad \alpha'_I I'_{kdn} = \alpha_N I_{eden} .$$

Решая совместно приведенные выше уравнения и вводя обозначения

$$I'_{kd} + I''_{kd} = I_{kd} ; \quad \alpha_I = \frac{\alpha'_I I'_{kd}}{I_{kd}} = \gamma \alpha'_I ,$$

получаем

$$U_{e1k} = \varphi_T \ln \left[\frac{\alpha_{N1}}{\alpha_{N1}} \frac{I_{61} + (1 - \alpha_{N1}) I_{e1}}{\alpha_{N1} I_{61} - (1 - \alpha_{N1}) I_{e1}} \right] + \left(r_{kk} + r'_{k1} \frac{\gamma_1 - \alpha_{N1} \alpha_{I1}}{1 - \alpha_{N1} \alpha_{I1}} \right) I_{61} + \left(r_{kk} + r'_{k1} \frac{\alpha_{N1} (1 - \alpha_{I1}) + \gamma_1 (1 - \alpha_{N1})}{1 - \alpha_{N1} \alpha_{I1}} \right) I_{e1} + r_{kk} (I_{62} + I_{e2}) . \quad (1)$$

Для работы ИП-1 в режиме ключа должно выполняться соотношение

$$I_6 > \frac{1 - \alpha_I}{\alpha_I} I_e .$$

Учитывая, что реально $1 - \alpha_N \ll 1$; $1 - \alpha_N \ll 1 - \alpha_I$; $\gamma \approx \alpha_I$, выражение для U_{e1k} можно записать следующим образом:

$$U_{e1k} \approx \varphi_T (1 - \alpha_{N1}) + \varphi_T \ln \frac{1}{1 - \frac{1 - \alpha_{N1}}{\alpha_{N1}} \frac{I_{e1}}{I_{61}}} + (r_{kk} + r'_{k1}) I_{61} + (r_{kk} + r'_{k1}) I_{e1} + r_{kk} (I_{e2} + I_{62}) , \quad (2)$$

$$r'_{k1} \approx r'_{k1} \frac{\gamma_1 - \alpha_{I1}}{1 - \alpha_{I1}} \ll r'_{k1} .$$

где

При $I_{\text{e}1} = I_{\text{e}2} = 0$ для $U_{\text{e}1\text{k}}$ имеем

$$U_{\text{e}1\text{k}}^0 = \varphi_T (1 - \alpha_{N1}) + (r_{\text{kk}} + r_{\text{k}1}^*) I_{61} + r_{\text{kk}} I_{62}. \quad (3)$$

Типовые зависимости $U_{\text{e}1\text{k}}^0 = f(I_{61})$ для $I_{62} = 0$ и $I_{62} = I_{61}$ показаны на рис. 6, а. Из этих зависимостей следует, что для ИП-1 $r_{\text{kk}} \approx 0,54 \text{ ом}$, $r_{\text{k}}^* \approx 0,38 \text{ ом}$ и $\alpha_N \approx 0,99$.

Выражение для $U_{\text{e}1\text{e}2} = f(I_{\text{e}}, I_b)$ легко находится из соотношения (2), причем при $I_{\text{e}1} = -I_{\text{e}2} = I_{\text{e}1\text{e}2}$; $I_{61} = I_{62} = \frac{I_{6\Sigma}}{2}$ и идентичных параметрах транзисторных структур ($\alpha_{N1} = \alpha_{N2} = \alpha_N$ и т. д.) оно записывается следующим образом:

$$U_{\text{e}1\text{e}2} = U_{\text{e}1\text{k}} - U_{\text{e}2\text{k}} \approx \varphi_T \ln \frac{1 + 2 \frac{1 - \alpha_I}{\alpha_I} \frac{I_{\text{e}1\text{e}2}}{I_{6\Sigma}}}{1 - 2 \frac{1 - \alpha_I}{\alpha_I} \frac{I_{6\Sigma}}{I_{\text{e}1\text{e}2}}} + 2r'_{\text{k}} I_{\text{e}1\text{e}2}. \quad (4)$$

Типовая зависимость $U_{\text{e}1\text{e}2} = f(I_{\text{e}1\text{e}2})$ показана на рис. 6, б ($I_{6\Sigma} = 2 \text{ мА}$; $T = 25^\circ\text{C}$).

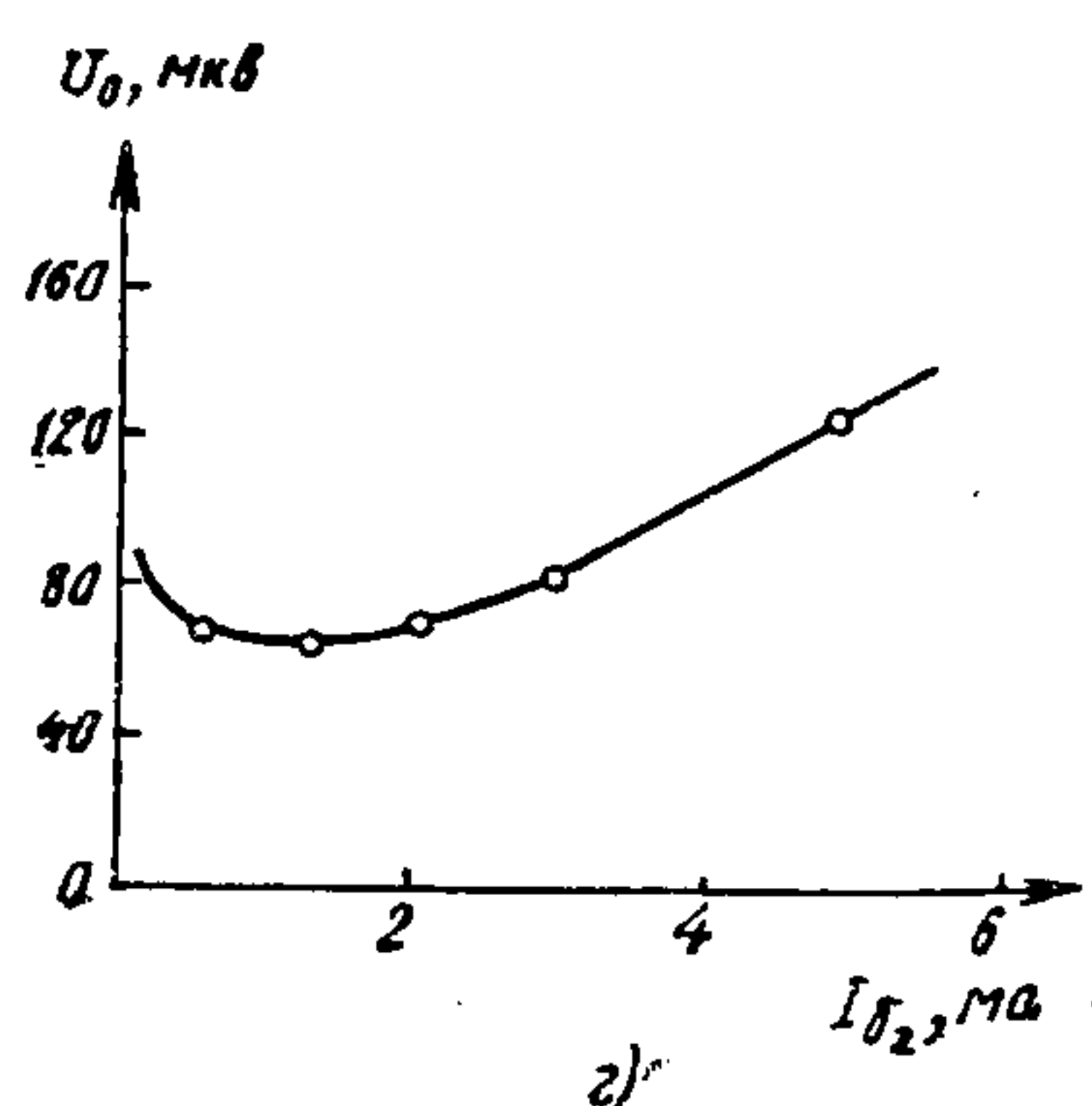
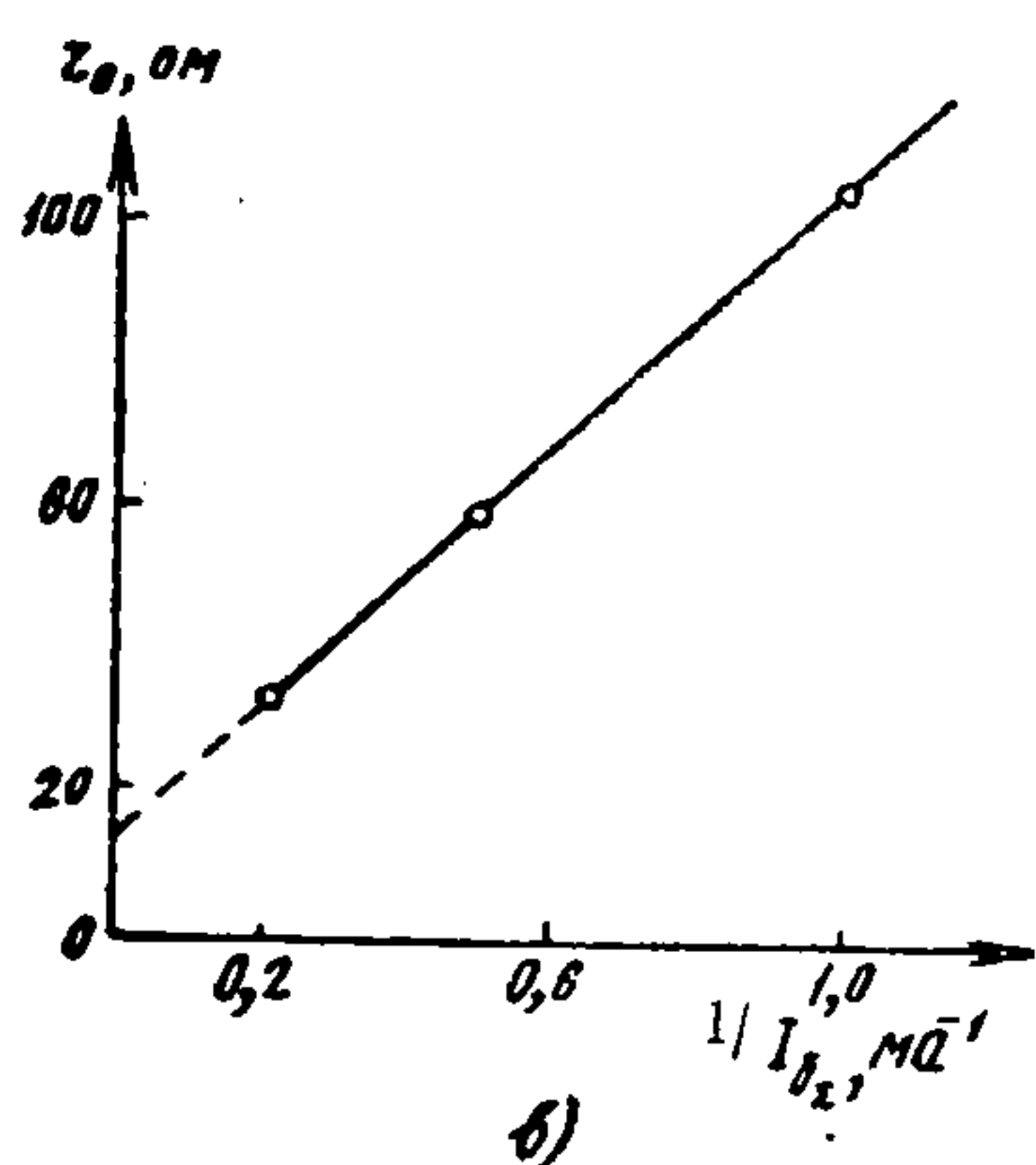
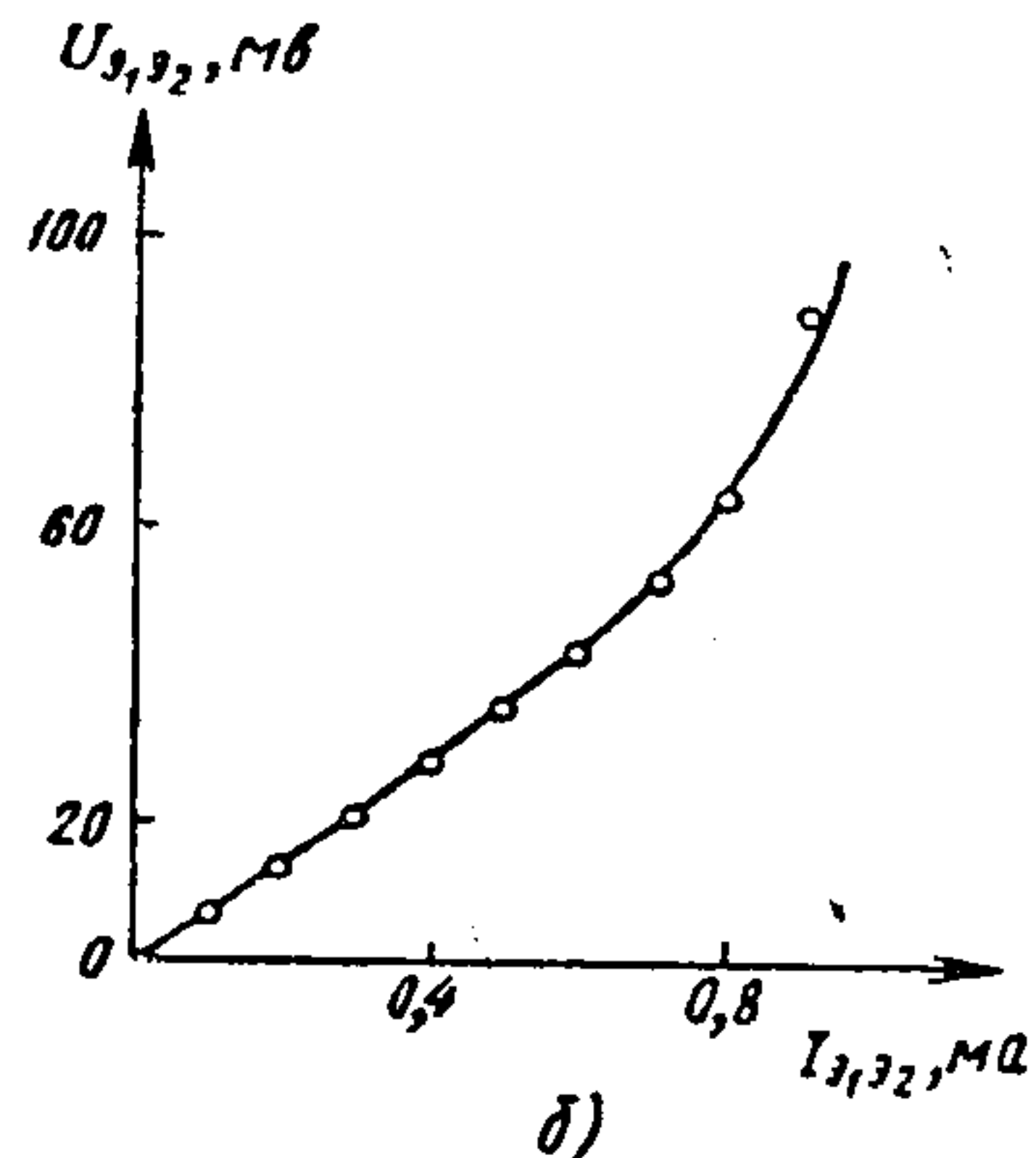
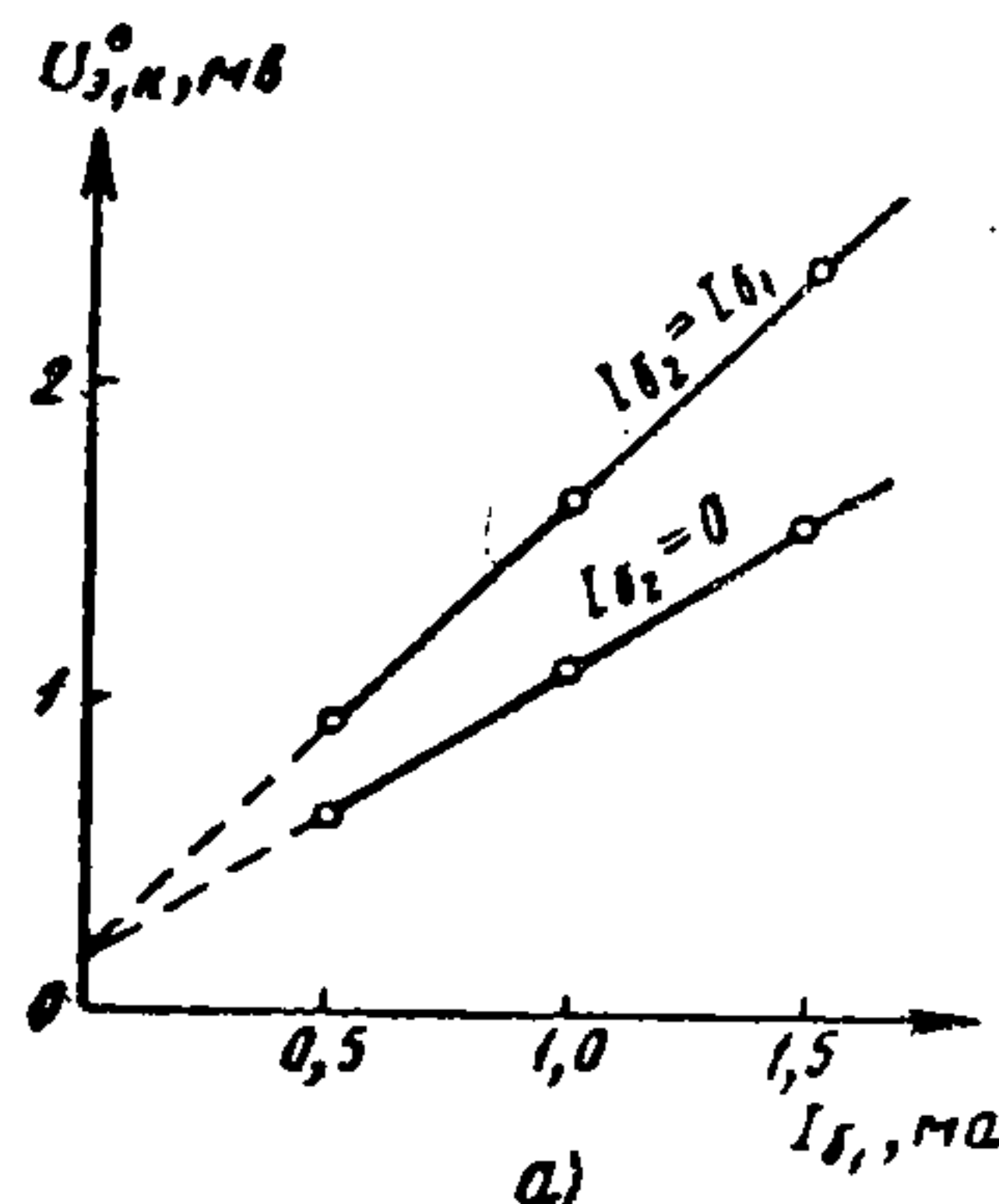


Рис. 6. Типовые зависимости параметров интегрального прерывателя.

Из выражения (4) легко определяется динамическое сопротивление r_0 на схеме рис. 4, в:

$$r_0 = \frac{dU_{\text{э1 э2}}}{dI_{\text{э1 э2}}} \left| \begin{array}{l} I_{6\Sigma} = \text{const} \\ I_{\text{э1 э2}} = 0 \end{array} \right. = 4 \frac{\varphi_T}{I_{6\Sigma}} \frac{1 - \alpha_I}{\alpha_I} + 2r'_k . \quad (5)$$

Типовая зависимость $r_0 = f\left(\frac{1}{I_{6\Sigma}}\right)$, из которой следует, что для ИП-1 $r'_k \approx 7 \text{ ом}$ и $\alpha_I \approx 0,5$ показана на рис. 6, в ($T = 25^\circ\text{C}$).

Выражение для остаточного напряжения U_0 при $I_{61} = I_{62} = \frac{I_{6\Sigma}}{2}$ записывается следующим образом:

$$U_0 = U_{\text{э1к}}^0 - U_{\text{э2к}}^0 = \varphi_T (\alpha_{N2} - \alpha_{N1}) + \frac{I_{6\Sigma}}{2} (r_{k1}^* - r_{k2}^*) . \quad (6)$$

Это соотношение хорошо объясняет типовую зависимость $U_0 = f(I_{6\Sigma})$, показанную на рис. 6, г (для $T = 25^\circ\text{C}$). При малых $I_{6\Sigma}$, когда резко падает $B_N = \frac{\alpha_N}{1 - \alpha_N}$, возрастает разброс α_N транзисторных структур. При больших $I_{6\Sigma}$ начинает преобладать разброс r_k^* .

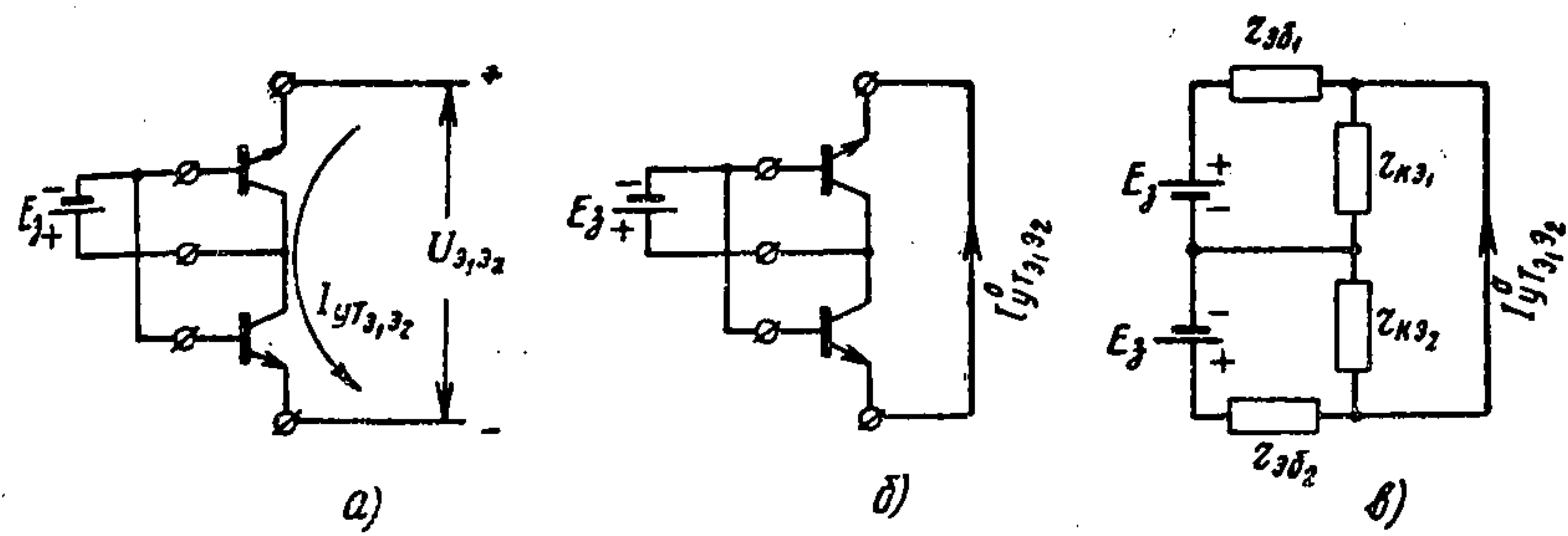


Рис. 7. Работа прерывателя ИП-1 в закрытом состоянии.

Параметры эквивалентной схемы прерывателя (см. рис. 4, в) для закрытого состояния транзисторов r_3 и I_3 находятся из анализа схемы на рис. 7, а. Сопротивление r_3 можно характеризовать зависимостью $I_{\text{ут э1 э2}} = f(U_{\text{э1 э2}})$ в схеме рис. 7, а, а ток I_3 равен току, протекающему между эмиттерами при $U_{\text{э1 э2}} = 0$ (см. рис. 7, б).

При показанной на рис. 7, а полярности напряжения $U_{\text{э1 э2}}$ переход эмиттер—база транзистора T_2 работает при прямом смещении, и поэтому ток утечки $I_{\text{ут э1 э2}}$ будет определяться утечками перехода эмиттер—база и промежутка коллектор—эмиттер транзистора T_1 . Эти утечки обусловлены, главным образом, пробоем микроплазм в слое объемного заряда, причем

$$\frac{dI_{\text{ут}}}{I_{\text{ут}}} \approx k \frac{dU}{\Phi_{\text{пор}}} ,$$

$$I_{\text{ут}} \approx I_0 \left(e^{k \frac{U}{\Phi_{\text{пор}}}} - 1 \right) .$$

На рис. 8 приведены типовые зависимости $I_{\text{ут э1 э2}} = f(U_{\text{э1 э2}})$ при $E_3 = 0$.

Как следует из рис. 7, а к промежутку коллектор—эмиттер наибольшее напряжение будет приложено в режиме, когда $E_3 = 0$, и поэтому ток утечки при $E_3 \neq 0$ будет всегда меньше тока утечки $I_{\text{ут э1 э2}}$ при $E_3 = 0$.

Эквивалентная схема, из которой можно определить $I_3 = I_{\text{ут э1 э2}}$ приведена на рис. 7, в. Очевидно, $I_{\text{ут э1 э2}}^0$ будет наибольшим при условии $r_{\text{э61}} \ll r_{\text{кэ1}}$ и $r_{\text{э62}} \gg r_{\text{кэ2}}$. Нетрудно показать, что и в этом случае он всегда будет меньше $I_{\text{ут э1 э2}}$ при $U_{\text{э1 э2}} = \frac{E_3}{2}$, и, учитывая экспоненциальную зависимость $I_{\text{ут э1 э2}}$ от $U_{\text{э1 э2}}$, для приборов ИП-1 будет практически отсутствовать.

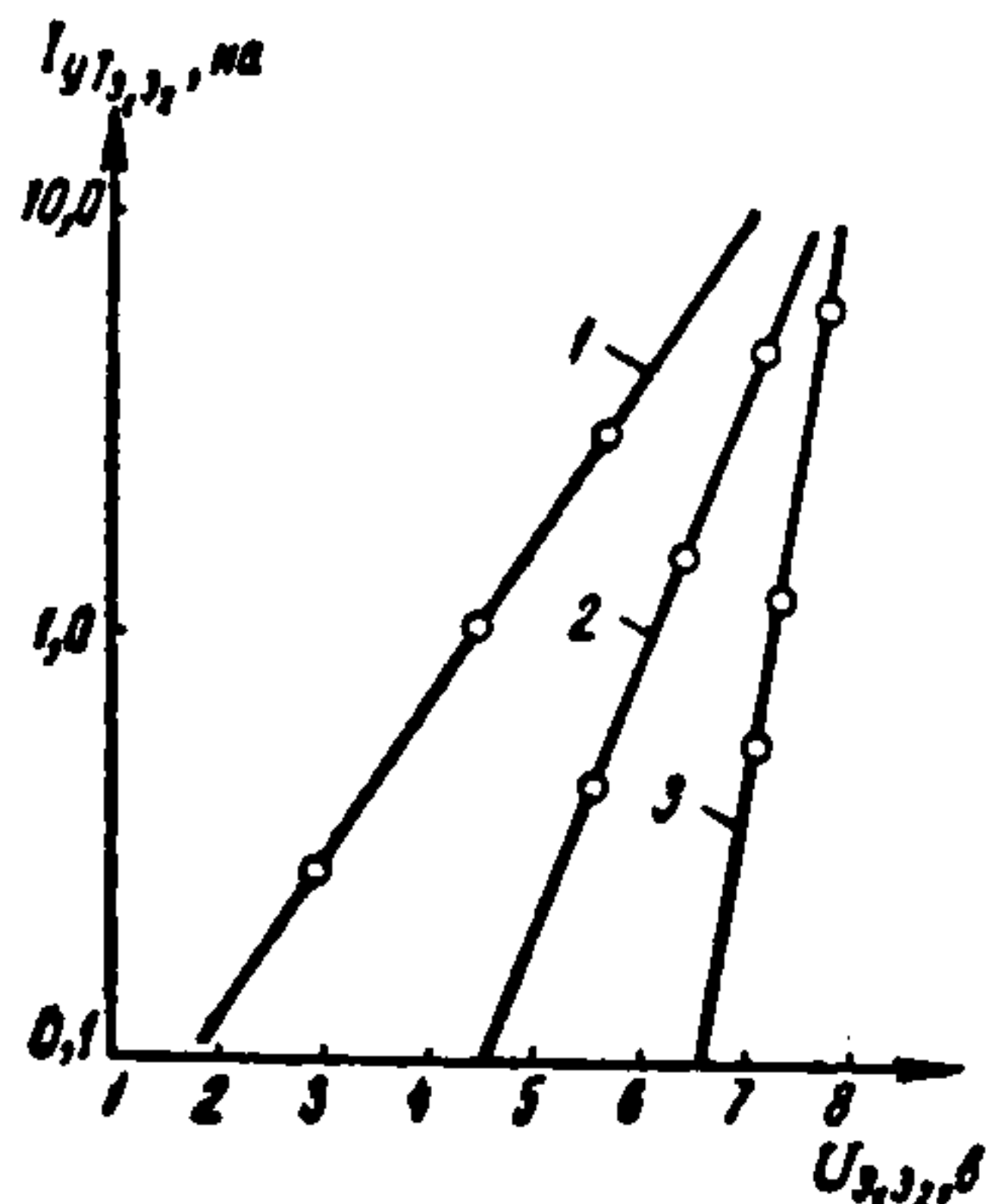


Рис. 8. Токи утечки интегрального прерывателя при различных температурах: 1) 85°C ; 2) 25°C ; 3) -60°C .

Основные эксплуатационные параметры прерывателей ИП-1

В соответствии с ТУ приборы ИП-1 по электрическим параметрам разделяются на следующие группы (см. табл. 2).

Таблица 2

Группа ИП-1	$I_{\text{ут э1 э2}} \text{ max. на}$		$r_{\text{отах. ом}}$	$U_0 \text{ max. мкв}$
	$U_{\text{э1 э2}} = \pm 6,3 \text{ в}$	$U_{\text{э1 э2}} = \pm 3,0 \text{ в}$		
A	10	—	100	50
B	10	—	100	150
V	—	10	100	50
Г	—	10	100	150

На рис. 9, а представлено типовое интегральное распределение всех групп по параметру $I_{\text{ут э1 э2}}$ при нормальной температуре. Как видно из распределения, более 50% всех приборов имеют токи утечки при $U_{\text{э1 э2}} = 3,5 \text{ в}$ менее 1 на. Согласно ТУ, при $+85^\circ\text{C}$ допускается увеличение тока $I_{\text{ут э1 э2}}$ до значения не более 100 на.

Распределение всех групп по остаточному напряжению U_0 приведено на рис. 9, б, а по динамическому сопротивлению r_0 — на рис. 9, в. Типовое значение r_0 при $+25^\circ\text{C}$ для отдельных партий составляет около 20 ом. Это говорит о том, что улучшение технологии и качества применяемых материалов может существенно увеличить величину инвер-

чного коэффициента передачи тока через базу (до величины порядка 0,8—0,9).

При положительной температуре наблюдается преимущественно рост значения r_0 с температурным коэффициентом 0,05—0,1 ом/град, что связано с увеличением объемного сопротивления тела коллектора. При отрицательных температурах может наблюдаться как увеличение, так и уменьшение значений r_0 в зависимости от вклада, вносимого изменением объемного сопротивления r_k' и инверсного коэффициента переноса тока через базу a_1 . Распределение интегральных прерывателей по параметру $\frac{dU_0}{dI_{B2}}$ показано на рис. 9, г. Типовые значения емкостей переходов эмиттер—база и коллектор—база составляют 5—7 пФ при отсутствии смещения.

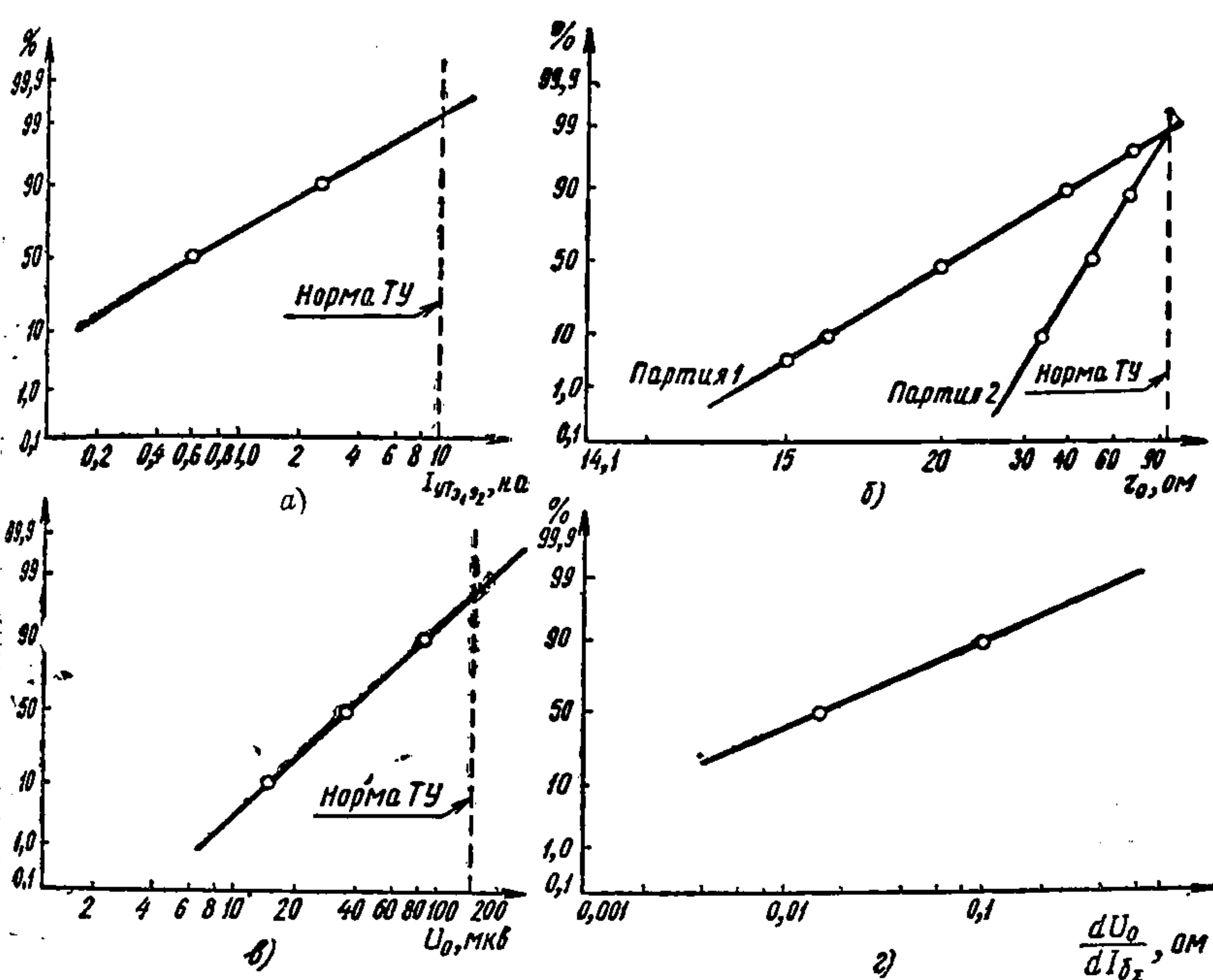


Рис. 9. Типовые интегральные распределения параметров прерывателей ИП-1.

Конструкция интегральных прерывателей ИП-1 позволяет применять их в условиях жестких механических воздействий. Прерыватели выдерживают вибрацию в диапазоне частот 5—5000 Гц с ускорением до 40 g, линейные ускорения до 150 g, многократные удары с ускорением до 150 g и одиночные удары с ускорением до 1000 g. Герметичность конструкции позволяет использовать приборы в условиях повышенного и пониженного атмосферного давления. Применение же их в условиях повышенной влажности допускается лишь при наличии дополнительной защиты монтажа от влаги или в герметизированных блоках, так как в противном случае поверхностные токи утечки между электродами могут значительно превышать токи утечки прибора.

Интегральные прерыватели могут выполняться и в бескорпусном варианте. Транзисторные структуры прерывателя обладают хорошими частотными свойствами ($f_T \approx 200$ —300 МГц), имеют высокие значения

h_{21e} на малых токах ($h_{21e} > 10$ при $I_e = 10 \text{ мкA}$), низкие значения U_{k_3} в режиме насыщения, благодаря чему они могут найти широкое применение в цифровых и усилительных микросхемах.

Статья поступила 11 марта 1969 г.

ЛИТЕРАТУРА

1. Анисимов В. И., Голубев А. П. Транзисторные модуляторы. Изд-во «Энергия», 1964.
2. Aarones M. W. Integrated Circuit Device and Fabrication Technology, SCP and Solid State Technology, 1966, v. 8, № 3.
3. Гаврилов Р. А., Скворцов А. М. Технология производства полупроводниковых приборов. Изд-во «Энергия», 1968.